

ارائه روش جدید برای شیرین سازی آب با استفاده از تلفات حرارتی، انرژی خورشید و بازیابی سیکل توان

سعید صمدزاده باغبانی^۱، علیرضا رئوف پناه^{۲*}، سید زعیم موسوی^۲

۱- دانشجوی کارشناسی ارشد تبدیل انرژی دانشکده فنی و مهندسی دانشگاه آزاد اسلامی واحد شهر ری

۲- استادیار گروه مکانیک دانشکده فنی و مهندسی دانشگاه آزاد اسلامی واحد شهر ری

چکیده

مسئله بحران آب و کاهش بارندگی در حال حاضر در اکثر نقاط دنیا یکی از مسائل مهمی است که توجه دولت و مسئولان امر را به خود جلب نموده است. این مسئله در کنار مسائل زیست محیطی و انرژی اهمیت دوچندانی پیدا می‌کند. استفاده از تلفات حرارتی تجهیزات موجود در مراکز صنعتی در سیستم‌های آب شیرین کن می‌تواند بسیار موثر و مفید باشد به طوری که علاوه بر بکارگیری تلفات انرژی در یک سیستم دیگر، موجب کاهش هزینه‌ها می‌شود که این مزیت می‌تواند مهترین مزیت سیستم‌های ترکیبی باشد. در مطالعه حاضر با بکارگیری تلفات حرارتی برای تولید حرارت مورد نیاز یک سیستم آب شیرین کن MSF مورد استفاده قرار گرفت. در نهایت پس از شبیه سازی تجهیزات، سیکل ترکیبی در نرم افزار تنسیس شبیه سازی شده است. نتایج نشان می‌دهد که دما و دبی آب گرم ورودی به سیستم هیتر آب شیرین کن معادل ۱۶۵ درجه سانتیگراد و ۵/۷۴۴ کیلوگرم بر ثانیه می‌باشد که برای تولید ۴۳۳۲ مترمکعب آب شیرین در روز استفاده می‌شود. بنابراین تلفات حرارتی از تجهیزات باید بتوانند این مقدار گرما تولید نمایند. همچنین دما و دبی خروجی از سیستم آب شیرین کن برابر با ۱۱۴/۲ درجه سانتیگراد و ۵/۷۴۴ کیلوگرم بر ثانیه می‌باشد که به عنوان جریان سرد ورودی مبدل‌های حرارتی مورد استفاده قرار می‌گیرد.

واژه‌های کلیدی: تلفات حرارتی، دیزل ژنراتور، کلکتور خوشیدی، تنسیس، نمک زدایی MSF

۱. مقدمه

مسئله بحران آب و کاهش بارندگی در حال حاضر در اکثر نقاط دنیا یکی از مسائل مهمی است که توجه دولت و مسئولان امر را به خود جلب نموده است. این مساله در کشور ایران هم یک چالش اساسی محسوب می‌شود و به همین دلیل ضرورت توجه علمی به روش‌های نوین برای تولید آب شیرین مطرح می‌شود. در نمک زدایی از آب با استفاده از انرژی‌های پاک با توجه به نوع انرژی، روش‌های مختلف جهت تصفیه آب مورد استفاده قرار می‌گیرد که از جمله آنها استفاده از روش نقطه‌گیری با بهره گیری از انرژی خورشیدی و زمین گرمایی و همچنین استفاده از روش‌های نظیر اسمز معکوس با استفاده از انرژی‌های تجدید شونده همچون انرژی امواج دریا، انرژی زمین گرمایی، انرژی باد و... می‌باشد. تامین آب شیرین نیازمند انرژی است. اما متأسفانه در بسیاری از کشورها که منابع آب شیرین با کمبود مواجه است، منابع انرژی نیز دارای کمبود است. ایران کشوری با اقلیم خشک و بیابانی در وضعیت نگران کننده‌ای است و در حالی که فقط ۲/۵ درصد آب موجود در جهان شیرین محسوب می‌شود سهم کمتری از همین مقدار اندک را دارد، تنها با اصلاح الگوی مصرف آب می‌توان بخشی از این معضل را جبران نمود. وضعیت کلی در ایران نسبت به جهان نگران کننده تر و سهم سرانه آب در ایران نسبت به کل جمعیت ایران نیز از شرایط نامساعدی برخوردار است. وضعیت بارندگی و تبخیر سالیانه در نواحی مختلف جهان بر حسب میلیمتر و نیز بحران آب در ایران بر اساس شاخص سازمان ملل نمایانگر کم آبی در نواحی مختلف کشور است. این در حالی است که متوسط رشد سالانه مصرف برق در ایران دو برابر متوسط جهان است. بنابراین لازم است ظرفیت‌های تولید برق و آب افزایش یابد. و اگر روش‌های مرسوم جهان در این زمینه مرور شود، نشان داده می‌شود که طبق تجربیات جهانی، پرکاربردترین و اصلی ترین روش‌های نمک‌زدایی آب دریا در حجم متوسط و بالا عبارتند از سیستم^۱ RO (اسمز معکوس)، MED (نقطه‌گیری چند مرحله‌ای) و MSF (تبخير ناگهانی)، البته اگرچه روش RO سهم بیشتری در جهان دارد، ولی اگر منشا برق مورد استفاده حرارتی باشد، نیروگاه به آب دریا دسترسی داشته باشد، حجم آب مورد نیاز زیاد و درجه حرارت بالا باشد و غلظت نمک آب دریا و کل مواد جامد محلول (TDS) بالا باشد، در آن صورت واحدهای MSF و MED مقرر به صرفه تر است. تکنولوژی ساخت مواد مصرفی RO در کشور هنوز بومی نشده است ولی با توجه به اینکه در موقعی از سال برق مازاد در شبکه وجود دارد، می‌توان برای استفاده بهینه از ظرفیت‌های منصوبه که بار پایه را تامین می‌کنند از روش RO استفاده کرد؛ بنابراین پیشنهاد متخصصان در یک بسته کلی سیستم هیرید سیکل ترکیبی است. اگر چه تکنولوژی MSF سهم بیشتری در شیرین سازی آب (دریا) به خود اختصاص داده، اما با توجه به پیشرفت‌های حاصل در تکنولوژی MED و مزایای این روش نسبت به روش MSF. بازار این تکنولوژی به سرعت در حال گسترش است، به گونه‌ای که در بسیاری از طرح‌های جدید و عظیم تولید همزمان برق و آب در حاشیه جنوبی خلیج فارس، از روش MED به جای MSF در ترکیب با نیروگاههای حرارتی استفاده شده است [۱].

با وجود اینکه حجم کلی آب موجود در زمین نسبتاً زیاد است، اما متجاوز از ۹۷ درصد آن در دریاهای و اقیانوس‌ها متمرکز است و حدود دو درصد نیز به صورت یخ و یخچال‌ها در مناطق قطبی تجمع یافته است. از یک درصد آب باقیمانده نیز بخش زیادی در اعمق زمین بوده که استخراج آن مشکل و دور از دسترس است. یکی از روش‌های تامین آب شیرین نمک زدایی از آبهای غیر قابل استفاده است. تحقیقات گوناگونی در این زمینه انجام شده است که در ادامه به برخی از مهمترین کارها اشاره می‌شود.

مجیدی و حسین نژاد به تحلیل ترموماگرزری اجزای سیکل آب شیرین کن خورشیدی رطوبت زنی و رطوبت زدایی پرداختند. نتایج نشان می‌دهد بخش گرمایش با ۸۸ درصد، بزرگترین منشا بازگشت ناپذیری‌ها در سیستم‌های این آب شیرین کن است و بنابراین بهبود عملکرد آن بیشترین تاثیر را بر بازدهی سیستم دارد [۲]. ملتمنس و همکاران شبیه سازی و تحلیل فنی سیستم فتوولتایک متمرکز با آینه‌های تخت جهت افزایش برق تولیدی را ارزیابی نمودند. نتایج بدست آمده از شبیه سازی

^۱ reverse osmosis

^۲ multiple effect distillation

حاکی از افزایش ۲/۷ برابری تولید انرژی الکتریکی سالانه سیستم در مقایسه با حالت بدون متمن‌کرنده و دنبال کننده بود [۳]. ولی پورمفتح و بیان احمدی به طراحی کلکتور خورشیدی آب شیرین با دستگاه آب شیرین کن تقطیری چند مرحله‌ای پرداختند. کلکتور طراحی شده در این مقاله قادر بود تا بخار آبی با دمای ۲۰۰ درجه سلسیوس و در فشار ۱۰ بار را برای یک واحد آب شیرین کن تقطیری چند مرحله‌ای با ظرفیت تولید آب شیرین کن ۵ مترمکعب در روز، واقع در شهر پرند تولید کند.[۴]. صفری و همکاران مروی بر پارامترهای تاثیر گذار بر عملکرد آب شیرین کن های خورشیدی در مودهای مختلف انجام دادند.[۵]. حسن زاده و همکاران روش های بهینه سازی راندمان در نیروگاه های خورشیدی را ارزیابی نمودند. در این مطالعه ضمن بررسی شیوه های مختلف بکارگیری این انرژی ها به بررسی نکاتی که باعث افزایش راندمان خواهد شد و مواردی نظری خشک کن های خورشیدی، آب شیرین کن خورشیدی و آب گرمکن خورشیدی و روش‌های افزایش بازدهی نیروگاههای خورشیدی نیز پرداخته شده است [۶]. عباسی و همکاران تاثیر فن مکنده در آب شیرین کن های خورشیدی را بررسی نمودند. این عمل موجب به جریان انداختن هوا و افزایش فشار یا کاهش فشار یک محیط می شود. در آب شیرین کن های خورشیدی زمانی که آب شور بر اثر گرفتن انرژی از خورشید بخار می شود، به دلیل دمای نسبتاً پایین محفظه تبخیر قسمت اعظمی از بخارات تشکیل شده انرژی لازم را برای ترک محفظه تبخیر و وارد شدن به محفظه تقطیر(کندانسور) را ندارند. قسمتی از این بخارات، در فضای محفظه تبخیر معلق می مانند، قسمتی دیگر بر روی سطح داخلی محفظه تبخیر تقطیر می‌شوند، سطح داخلی محفظه تبخیر را مات (کدر) می کنند. این فرایند باعث عدم تابش کامل نور خورشید به داخل محفظه تبخیر می شود، و راندمان دستگاه را تا حد قابل ملاحظه کاهش می دهد. با استفاده از یک فن این مشکل حل می شود [۷]. هلال و المالک مساله طراحی سیستم آب شیرین کن بر مبنای تراکم فشار را بررسی نمودند که با انرژی خورشید در نقاط دور دست کار می کند [۸]. سالک و همکاران تحلیل ترمودینامیک و بهبود ژنراتور آب اتمسفری مبتنی بر انرژی خورشیدی را بررسی نمودند. ژنراتور بدست آمده کاملاً جدید بوده و از دو منبع یا قدرت مساوی استفاده می کند. عملکرد سیستم در ۴ شهر ایران ارزیابی شد [۹]. غنای و همکاران به تحلیل و ارزیابی نیروگاه های آب شیرین کن خورشیدی شبکه ای و تنها پرداختند [۱۰]. استولفی و همکاران مساله ترکیب سینرجیک نمک زدایی و انرژی خورشیدی را در شبکه های میکرو ارزیابی نمودند. عملکرد بهینه سیستم توسط شبیه سازی پیشرفت به دست آمد [۱۱]. عبدالکریم و همکاران آخرین پیشرفت ها را در حیطه منابع انرژی تجدیدپذیر و کاربرد آن در نیروگاه های نمک زدایی بررسی نمودند [۱۲]. عبیدی و همکاران طراحی بهینه واحد آب شیرین کن با هلیواستات را انجام دادند. هدف اصلی تمرکز کلکتورها یا کنترل هلیواستات بود [۱۳]. النادی مساله پایداری آینه های خورشیدی را ارزیابی نمودند. هدف استفاده از ابزارهایی با هزینه کم بود [۱۴]. رومل سیستم های آب شیرین کن حرارتی خورشیدی را با در نظر گرفتن کلکتورهای بدون خوردگی بررسی نمودند [۱۵].

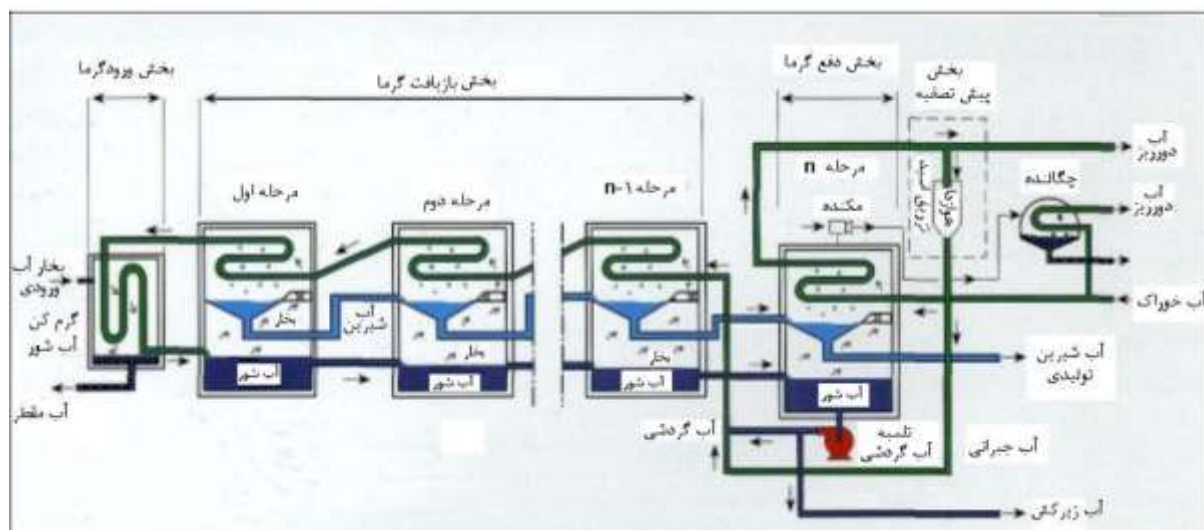
همانطور که در بخش قبل مشاهده شد اخیراً بیشتر توجه محققین حوزه نمک زدایی به استفاده از انرژی های نو برای فرآیند نمک زدایی است. استفاده از روش های مرسوم نمک زدایی با مصرف انرژی بالای همراه است بنابراین تامین انرژی مورد نیاز برای این سیستم ها با توجه به چالش انرژی امری حیاتی است. یکی از این روش ها، روش MSF است که با توجه به نحوه عملکرد نیاز به انرژی بالایی دارد اما به دلیل امکان طراحی آن ها در ظرفیت های بالا هنوز سهم قابل توجهی از تولید آب به روش حرارتی را به خود اختصاص داده است. در این مطالعه با بکارگیری تلفات حرارتی و انرژی خورشید و بازیابی سیکل توان برای تولید حرارت مورد نیاز یک سیستم آب شیرین کن MSF مورد استفاده قرار گرفت.

۱. آب شیرین کن MSF

فرآیند تبخیر ناگهانی چند مرحله‌ای با MSF^۳ در داخل محفظه‌ای به نام گرمکن، محلول آب شور گرم می‌شود . این کار عمدها از طریق چگالیده شدن بخار روی تعداد لوله موازی که در داخل محفظه عبور کرده و در عین حال آب شور را گرم می‌کنند، انجام می‌شود. آب شور گرم شده سپس به داخل محفظه‌ی دیگری که مرحله اوپراتور (تبخیر کننده) نامیده می‌شود،

^۳ Multi stage flash distillation

جريان یافته و در آنجا غشاء در حدی تنظیم می‌گردد که آب بلا فاصله به جوش می‌آید، تغذیه ناگهانی آب گرم به داخل اطافک باعث به جوش آمدن سریع آن می‌گردد. در واقع آب به صورت انفجاری یا فلاشینگ به بخار تبدیل می‌گردد این تبدیل به فشار کنترل شده در این مرحله بستگی دارد، زیرا فرآیند جوشش تا زمانی ادامه می‌یابد که آبسرد شود. مفهوم تقطیر آب به کمک ظرفی که تحت فشار کاهش داده شده، کار می‌کند یک ابداع جدید نیست، بلکه بیش از یک قرن است که کاربرد دارد. در دهه ۱۹۵۰، دستگاهی که از یک سری طبقات با شب فزاینده فشارهای اتمسفری پایین‌تر تشکیل می‌شد ابداع گردید در این دستگاه، آب تغذیه می‌توانست از یک مرحله به مرحله دیگر راه یافته بطور مکرر و بدون افزودن حرارت به حالت جوش برسد. معمولاً یک مجموعه آب شیرین کن با تقطیر ناگهانی چند مرحله‌ای می‌تواند ۴۰ تا ۴۰ مرحله داشته باشد. بخار تولید شده از طریق فرآیند فلاش پس از چگالیدن روی لوله‌های مبدل حرارتی که در طول هر مرحله تعییه شده‌اند، به آب شیرین تبدیل می‌گردد. لوله‌ها به وسیله آب تغذیه ورودی که به گرم کن آب شور می‌رود خنک می‌شود. با این کار آب تغذیه به نوبه خود گرم می‌شود، به نحوی که مقدار انرژی حرارتی مورد نیاز در گرمکن آب شور جهت افزایش دمای آب دریا کاهش می‌یابد. از دهه ۱۹۵۰ دستگاهی آب شیرین کن MSF به طور تجاری ساخته شدند. این دستگاه‌ها عموماً به صورت واحدی با حدود ۵۰۰۰۰ تا ۶۰۰۰۰ مترمکعب در روز ساخته می‌شود. تقطیر ناگهانی چند مرحله‌ای معمولاً با حداکثر دمای تغذیه ۹۰ تا ۱۲۰ درجه سانتی‌گراد (پس از گرم کردن آب شور) عمل می‌کند. یکی از عواملی که بر روی راندمان حرارتی واحد تاثیر دارد و اختلاف بین دما از گرمکن آب شور تا چگالیده درانتهای سرد دستگاه است. در سیستم‌های با تقطیر ناگهانی چند مرحله‌ای چندگذر، ۵۰ تا ۷۵ درصد آب شور غلیظ شده از آخرین مرحله به آب تغذیه ورودی مخلوط می‌شود و به واسطه این فرآیند بازیافت حرارتی افزایش و مقدار مواد لازم برای تصفیه مقدماتی کاهش می‌یابد. متاسفانه این عمل به سبب افزایش غلضت نمک در چرخه آب شور، میزان خودگی و تشکیل رسوب را افزایش می‌دهد و همین دلیل کنترل رسوب باید با دقت بیشتری صورت گیرد. افزایش تعداد مراحل فرآیند تقطیر ناگهانی چند مرحله‌ای، بازده کلی دربخش بازیافت حرارت را افزایش می‌دهد و البته در آن صورت هزینه سرمایه‌گذاری نیازافزایش خواهد یافت. در این روش از گرمای محسوس برای تولید گرمای نهان تبخیر در هر بخش استفاده می‌شود [۱۶].



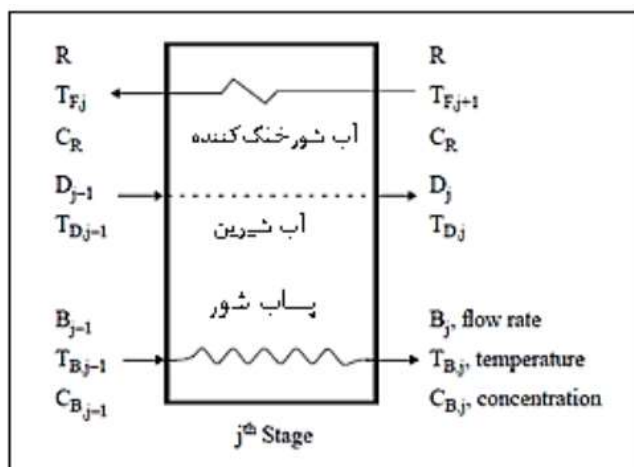
شکل ۱ فرآیند تقطیر ناگهانی چند مرحله‌ای [۱۶]

۱. روش مدلسازی

جهت مدل سازی فرایند تبخیر ناگهانی چند مرحله ای از مدل SIMTAW و هلال و همکاران در سال ۱۹۸۶ استفاده می گردد. در این مدل فرض های اساسی، زیر مدنظر قرار گرفته است [۱۷].

- ۱- محصولات خروجی هر مرحله بدون املاح خواهد بود . بخار آب خروجی هیچ رطوبتی به همراه نخواهد داشت.
 - ۲- خنک سازی آب مقطر خروجی از مبدل حرارتی گرم کن آب شور مد نظر قرار نگرفته است. همچنین فرض بر آن است که بخار ورودی به این مبدل در حالت اشبع می باشد.
 - ۳- مدل بین مرحله ای وجود ندارد . بنابراین اثر سطح پساب شور در هر مرحله به حساب نیامده است.

در شکل ۲ مرحله \dot{z} تبخیر ناگهانی چند مرحله ای نشان داده شده است .



شکل ۲ مرحله از تبخیر ناگهانی چند مرحله‌ای [۱۷]

با توجه به شکل ۲ روابط را می‌توان چنین تعریف نمود:

- ## ۱- معادلات انتقال گرما در چگالنده :

معادله حاکم بر دما ورودی و خروجی ، ضریب کلی انتقال گرما و سطح گرما از معادله ۱ به دست می آید.

$$\frac{T_{D,j} - T_{F,j+1}}{T_{D,i} - T_{F,i}} = \exp\left(\frac{U_j \cdot A_j}{R \cdot CP_{R,i}}\right) \quad (1)$$

در رابطه بالا A_j سطح کلی انتقال گرما چگالنده / تبخیر کننده و U_j ضریب انتقال حرارت کلی در هر مرحله است. مقدار آن هم به مقاومت های گوناگون انتقال حرارت واحد بستگی دارد. ضریب انتقال گرما کلی نیز با در نظر گرفتن مقاومت های گرمایی، نیز بصورت معادله ۲ مقابلاً محاسبه است.

$$U_j = \frac{1}{(R_{bi} + R_w + R_c + R_f)} \quad (2)$$

در معادله بالا مقاومت انتقال گرما داخلی لوله است که از معادله ۳ به دست می‌آید.

$$R_{bi} = \frac{1}{h_{hi}} \left(\frac{OD}{ID} \right) \quad (3)$$

در معادله بالا، OD ، ID قطرهای خارجی و داخلی لوله و b_i ضریب انتقال گرمایی همرفت برای جریان آشفته کامل درون لوله است. با فرض تفاوت دمایه، کم بین سطح دیواره و حجم سیال، داریم:

$$h_{bi} = E \cdot \dots \cdot \gamma \left(\frac{k}{ID} \right) \cdot Re^{-\lambda} \cdot Pr^{-\beta} \quad (4)$$

در معادله بالا E ضریب بهبود است که برای لوله های صاف برابر یک و برای لوله های بهبود یافته بسته به آرام یا آشفته بودن جریان سیال از ۲ تا ۲۵ در نظر گرفته می شود. Re عدد رینولدز و Pr عدد پرانتل جریان است. R_w مقاومت دیواره لوله نیز از معادله ۵ محاسبه می گردد [۱۷].

$$R_w = \frac{t \cdot OD}{K_w \cdot d_{lm}} \quad (5)$$

در معادله ۵ رسانایی گرمایی دیواره و t ضخامت آن می‌باشد. همچنین d_{lm} میانگین لگاریتمی اندازه قطرهای خارجی و داخلی لوله است. مقاومت دیواره لوله را می‌توان با کاهش ضخامت آن و یا افزایش رسانایی گرمایی آن کاهش داد. R_c نیز مقاومت ناشی از تشکیل لایه آب مقطر در بخش بخار است که با محاسبه h_c ضریب انتقال گرما لایه آب مقطر از معادله ناسلت به دست می‌آید.

$$h_c = 0.729 \left(\frac{k^r \rho^r g \lambda_{fg}}{n \cdot \mu \cdot OD \cdot \Delta T_{fm}} \right)^{0.25} \quad (6)$$

در معادله بالا k رسانایی گرمایی آب مقطر، g چگالی آب مقطر، λ_{fg} گرمای زمین، n تعداد لوله‌ها در ردیف عمودی، μ ویسکوزیته آب مقطر، OD قطر خارجی لوله و ΔT_{fm} اختلاف دمای دو طرف لایه که T_s دمای بخار اشباع و T_w دمای دیواره خارجی لوله است. خواص آب مقطر به طور معمول در دمای لایه T_{fm} که از معادله ۷ محاسبه می‌شود، مدنظر قرار گرفته می‌شود.

$$T_{fm} = T_s - 0.5(T_s - T_w) \quad (7)$$

همچنین R_f هم مقاومت کلی ناشی از مقاومت تشکیل رسوب بر سطح درونی و بیرونی دیواره لوله و مقاومت گازهای غیرقابل چگالش است که به طور معمول توسط طراح و سازنده ارایه می‌شود. معادله دمای مربوط به جریان‌های پساب شور در حال تبخیر ناگهانی و آب شیرین تولیدی عبارتست از:

$$T_{B,j} = T_{D,j} + BPE + NEA + PL \quad (8)$$

در معادله بالا BPE افزایش نقطه جوش آب شور نسبت به آب خالص است. همان‌طور که در ادامه شرح داده می‌شود این افزایش تابعی از دما و غلظت آب شور است. NEA حد مجاز غیر تعادلی افت دما است که برابر با افت دما ناشی از زمان ماند محدود پساب شور در حال تبخیر ناگهانی در اتاقک تبخیر است. PL مربوط به افت دما ناشی از تغییر فشار چگالنده و نم زدا است [۱۷].

۲. شبیه سازی دیزل ژنراتور

در اکثر موتورهای دیزل ژنراتور حدود ۳۰ الی ۴۵ درصد انرژی ورودی تبدیل به برق می‌شود و نزدیک به ۲۰ الی ۳۰ درصد انرژی ورودی از طریق اگزوز هدر می‌رود. با توجه به اینکه دمای گازهای خروجی اگزوز حدود ۶۰۰ الی ۵۰۰ درجه سانتیگراد است همچنین ۱۸ الی ۲۵ درصد انرژی از طریق سیستم خنک کاری موتور اتلاف می‌شود. جهت شبیه سازی سیستم دیزل ژنراتور، معادلات ترمودینامیکی حاکم بر موتور دیزل به صورت ساده در نرم افزار EES مدل می‌گردد. جهت شبیه سازی عملکرد دیزل ژنراتور فرضیات زیر را در نظر می‌گیریم:

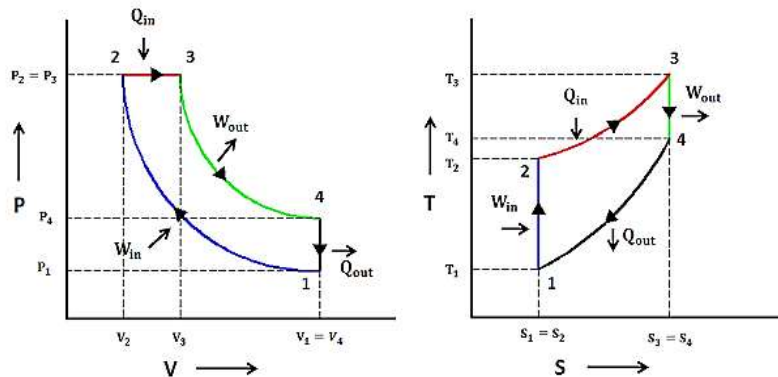
۱- سیکل کاری دیزل ژنراتور آیده آل است.

۲- بیشترین دمای سیکل T_c را به علت محدودیت‌های متریال، ثابت در نظر گرفته شده است.

در جدول ۲ نتایج عددی شبیه سازی نشان داده شده است.

جدول ۱ پارامترهای ورودی به سیکل دیزل

پارامترها	مقادیر	دیمانسیون
Pressure (۱)	۰,۱	Kpa
Pressure (۲)	۱	Kpa
Pressure (۳)	۱	Kpa
Pressure (۴)	۰,۳۵	Kpa
Temperature (۳)	۱۱۷۳	K
Temperature (۱)	۲۹۸	K



شکل ۳ منحنی‌های ایده‌موتور دیزل

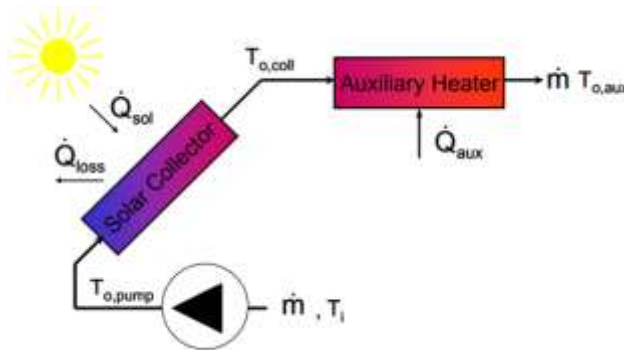
جدول ۲ نتایج شبیه‌سازی سیکل دیزل ژنراتور

T_1(K)	Q_in (kj/kg)	Q_out(kj/kg)	Eta	U¹	U²	h²	h³
۲۸۸	۷۱۶,۲	۴۷۶,۷	۳۳,۴۵	۴۰۵,۶	۸۸۲,۲	۸۵۴,۸	۱۵۷۱
۲۹۰,۸	۷۱۰,۳	۴۷۴,۶	۳۳,۱۹	۴۰۷,۷	۸۸۲,۲	۸۶۰,۷	۱۵۷۱
۲۹۳,۶	۷۰۴,۴	۴۷۲,۵	۳۲,۹۲	۴۰۹,۸	۸۸۲,۲	۸۶۶,۷	۱۵۷۱
۲۹۶,۳	۶۹۸,۴	۴۷۰,۴	۳۲,۶۵	۴۱۱,۹	۸۸۲,۲	۸۷۲,۶	۱۵۷۱
۲۹۹,۱	۶۹۲,۵	۴۶۸,۳	۳۲,۳۸	۴۱۴	۸۸۲,۲	۸۷۸,۶	۱۵۷۱
۳۰۱,۹	۶۸۶,۵	۴۶۶,۱	۳۲,۱	۴۱۶,۱	۸۸۲,۲	۸۸۴,۵	۱۵۷۱
۳۰۴,۷	۶۸۰,۵	۴۶۴	۳۱,۸۱	۴۱۸,۲	۸۸۲,۲	۸۹۰,۵	۱۵۷۱
۳۰۷,۴	۶۷۴,۶	۴۶۱,۹	۳۱,۵۲	۴۲۰,۳	۸۸۲,۲	۸۹۶,۵	۱۵۷۱
۳۱۰,۲	۶۶۸,۶	۴۵۹,۸	۳۱,۲۲	۴۲۲,۴	۸۸۲,۲	۹۰۲,۵	۱۵۷۱
۳۱۳	۶۶۲,۶	۴۵۷,۷	۳۰,۹۲	۴۲۴,۵	۸۸۲,۲	۹۰۸,۵	۱۵۷۱

توجه داشته باشید به علت اینکه روی انرژی حرارتی خروجی سیکل کنترل داشته باشیم، از اطلاعات موجود در کاتالوگ های دیزل ژنراتور استفاده نشده است. در مطالعه حاضر از اطلاعات بدست آمده با دمای ورودی ۲۸۸ درجه استفاده شده است بنابراین انرژی حرارت خروجی از سیکل دیزل ژنراتور برابر با $216/2$ کیلوژول بر کیلوگرم در نظر گرفته شده است. بعد از مشخص شدن تلفات حرارتی دیزل ژنراتور، این حرارت به یک لوله داده می شود تا حرارت و دبی مورد نیاز برای شبیه سازی در نرم افزار ترنسیس محاسبه شود. فرض شده است که لوله تمام حرارت را به آب منتقل می نماید.

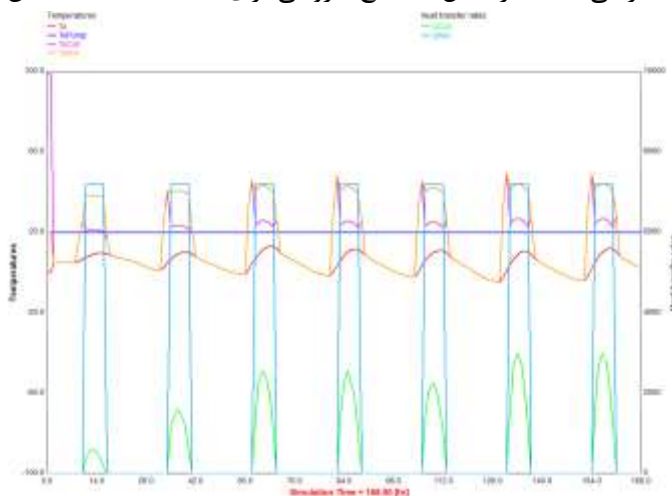
۳. شبیه سازی کلکتور خورشیدی

با توجه به اینکه در نرم افزار ترنسیس کامپونت مربوط به کلکتور خورشیدی وجود دارد جهت شبیه سازی آن از این کامپونت استفاده شده است. در شکل ۴ شماتیکی از مدل مورد نظر نشان داده شده است.



شکل ۴ شماتیکی از سیستم کلکتور خورشیدی

همان طوری که مشاهده می‌شود سیال با یک دما و دبی مشخص وارد پمپ شده و سپس به سمت کلکتور هدایت می‌شود. در کلکتور پس افزایش دمای سیال توسط انرژی خورشیدی، سیال به سمت یک هیتر منتقل می‌شود. در صورتی که دمای سیال ورودی نسبت به دمای مشخص شده برای هیتر کمتر باشد، هیتر با مصرف انرژی حرارت دمای سیال را تا دمای مورد نظر افزایش می‌دهد. پمپ مورد استفاده با توان ۲۰ وات دارای دبی ۱۰۰ لیتر بر ساعت است. ساعت کار پمپ از ساعت ۶ صبح تا ۹ شب در نظر گرفته شده است. برای هیتر نیز دمای خروجی را ۶۰ درجه سانتیگراد و توان آن را ۲۰۰۰ وات در نظر گرفته شده است. با اضافه کردن کامپونت مربوط به تغییرات آب و هوایی برای کلکتور خورشیدی و یک کنترلر برای پمپ به سیستم، در نهایت مدل نهایی بدست می‌آید. در نهایت خروجی‌های سیستم شامل دمای سیال ورودی به سیستم، دمای سیال ورودی به کلکتور و خروجی از پمپ، دمای خروجی از کلکتور، دمای هیتر، دمای میزان انرژی حرارت کلکتور و میزان انرژی حرارتی مصرفی هیتر می‌باشد. در شکل ۵ نتایج خروجی برای مدت ۱۶۸ ثانیه نشان داده شده است.



شکل ۵ نتایج خروجی سیستم کلکتور خورشیدی

۴. شبیه سازی سیکل ترکیبی

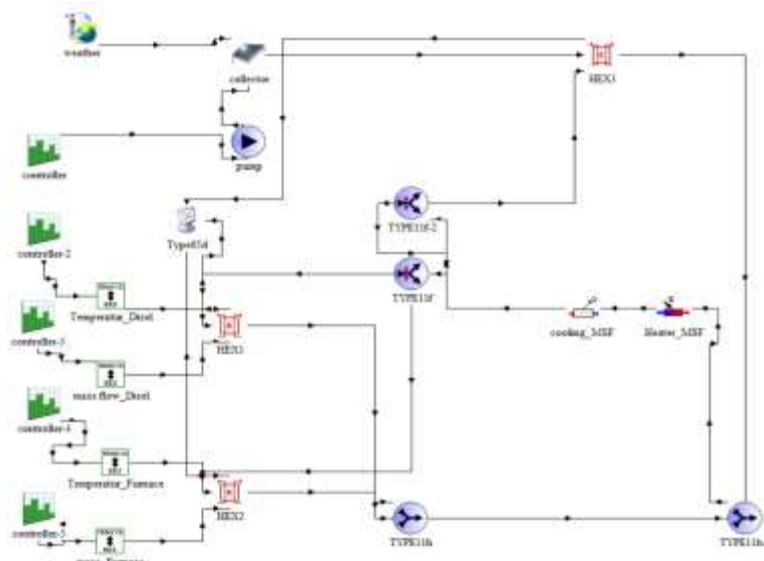
سیکل ترکیبی مورد نظر از سه تجهیز اصلی تشکیل شده است. به طوری که قرار است تلفات حرارت دیزل ژنراتور و همچنین حرارتی تولیدی در کلکتور خورشیدی صرف تامین گرمای مورد نیاز برای یک سیستم آب شیرین کن MSF گردد. بدین منظور ابتدا سیستم کلکتور خورشیدی را که شامل ۵ کامپونت می‌باشد با مشخصات معلوم شبیه سازی می‌نماییم. کامپونت شامل:

- ۱- کامپونت مربوط به اطلاعات آب و هوایی برای کلکتور خورشیدی
- ۲- کامپونت کلکتور خورشیدی
- ۳- پمپ برای تامین دبی مورد نیاز کلکتور

۴- کنترلر پمپ ، برای کنترل کردن میزان کار کرد پمپ در طول شباهه روز

۵- کامپونت هیتر ، برای ثابت نگه داشتن دمای خروجی از سیستم کلکتور خورشیدی

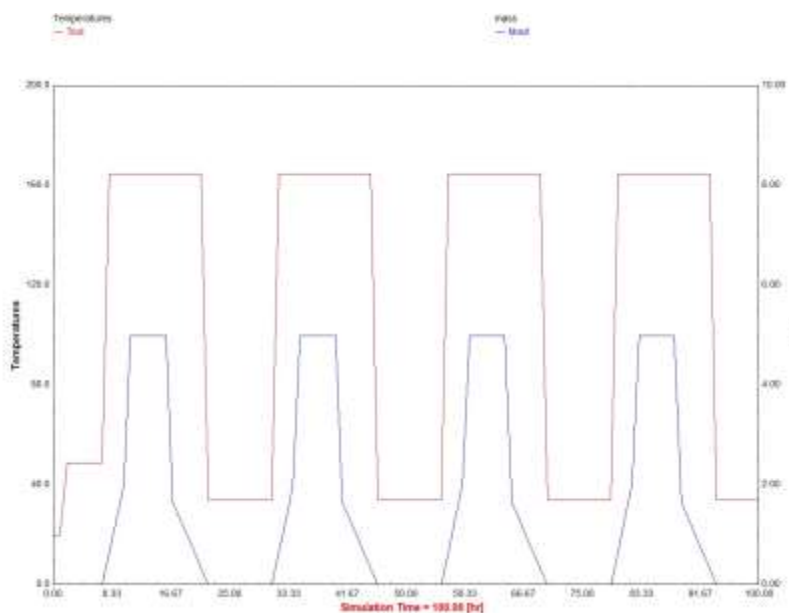
خروجی هیتر در سیستم کلکتور خورشیدی که شامل دما و دبی سیال می باشد به یک مبدل حرارتی پوسته - لوله با اثر ثابت به عنوان جریان گرم وارد می شود . این مبدل حرارتی با ظرفیت حرارتی آشکار صفر به عنوان وسیله ای با اثر ثابت مدل می شود که مستقل از پیکربندی سیستم عمل می کند. برای حالت اثر مستقیم، حداکثر انتقال حرارت ممکن براساس حداقل نرخ ظرفیت حرارتی سیال و دماهای سمت سرد و سمت گرم مبدل محاسبه می شود. در این وضعیت مقدار اثرگذاری به عنوان پارامتر ورودی وارد می شود و مفهوم ضریب انتقال حرارت کلی برای مبدل حرارتی استفاده نمی گردد. پس از کلکتور خورشیدی ، دیزل ژنراتور را در سیکل شبیه سازی می نماییم. جهت شبیه سازی ابتدا معادلات حاکم بر دیزل ژنراتور را حل نموده و در نهایت دما و دبی خروجی از تلفات حرارتی دیزل ژنراتور را توسط کامپونت ارتباطی نرم افزار EES و ترنسیس وارد سیکل می نماییم. سپس دما و دبی ورودی وارد یک مبدل حرارتی اثر ثابت دیگر ، به عنوان جریان گرم می شود. جهت شبیه سازی آب شیرین کن در سیکل ، با توجه به اینکه مقدار دبی و دمای ورودی و خروجی به هیتر آب شیرین کن قبل محاسبه شده است و در اختیار داریم ، می توانیم از یک سرد کن جانبی و یک گرم کن جانبی برای مدل سازی آب شیرین کن استفاده نماییم. به طوری که جریان ورودی سیال ورودی به آب شیرین کن به میزان مشخصی گرم شده و سپس وارد آب شیرین کن می گردد و پس از خروجی دمای آن به میزان مشخصی کم شده و از آن خارج می گردد. سپس آب خارج شده به عنوان جریان سرد وارد مبدل های حرارتی می شود. همچنین جهت جلوگیری از پیچیده شدن سیکل ، جریان سرد خروجی از مبدل های حرارتی دامپ می گردد. در صورتی که در شکل ۶ نمایی از سیکل مورد نظر نشان داده شده است. جهت تحلیل نتایج بدست آمده ، ابتدا خروجی های سه راهی ورودی به هیتر ، هیتر جانبی و سرد کن جانبی را بررسی می نماییم. تا دبی و دمای مور دنیاز آب شیرین کن را بدست آوریم . بنابراین با وارد کردن یک کامپونت پرینتر دما و دبی این نقاط را بررسی می کنیم.



شکل ۶ شماتیک سیکل ترکیبی شبیه سازی شده در ترنسیس

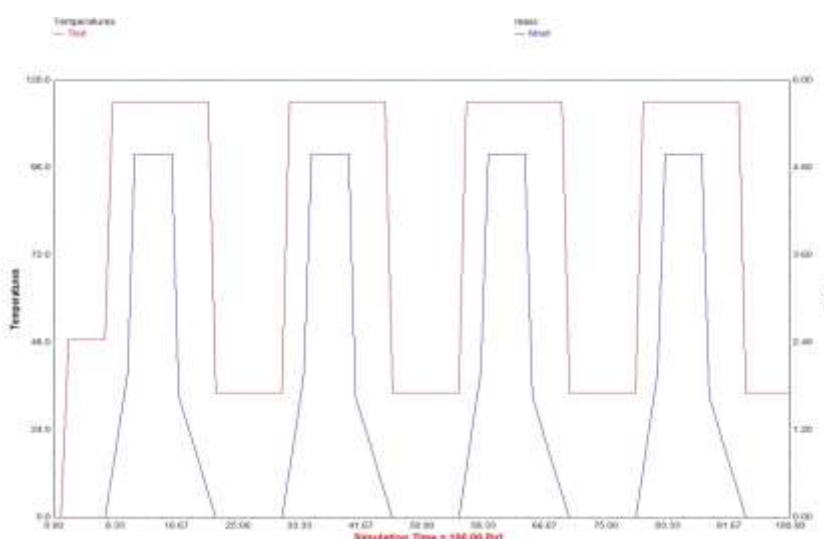
۲. بررسی نتایج سیکل ترکیبی

در شکل ۷ دما و دبی ورودی به هیتر که همان دمای ورودی به سیستم هیتر آب شیرین کن میباشد در مدت ۱۰۰ ثانیه نشان داده شده است.

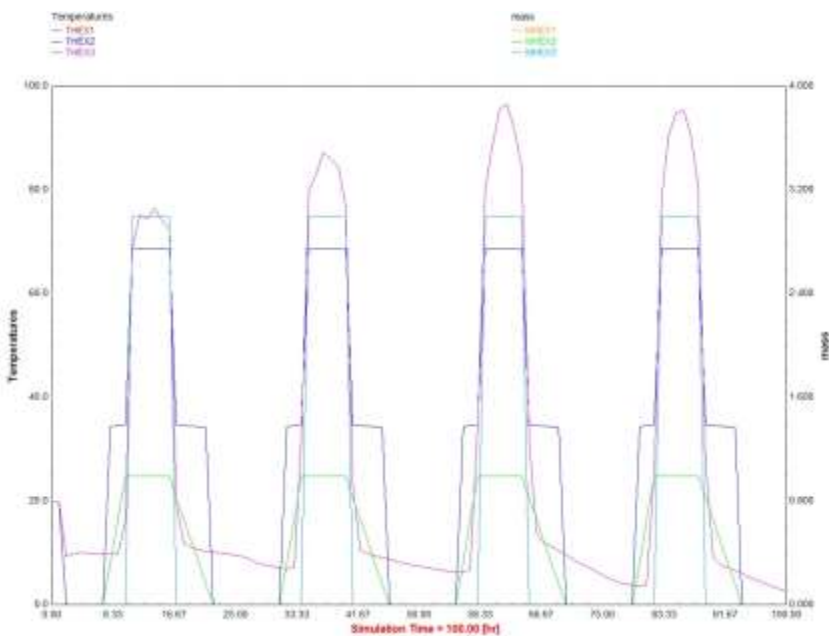


شکل ۷ تغییرات دما و دبی ورودی به سیستم آب شیرین کن

همان طوری که مشاهده می‌کنید دمای ورودی به هیتر مطابق با دمای سنت پوینت که برابر با ۱۶۵ درجه سانتیگراد می‌باشد . بدست آمده است . برای تنظیم دبی ورودی به هیتر آب شیرین کن ، دبی خروجی پمپ کلکتور را ۳ کیلوگرم بر ثانیه ، و دبی دیزل ژنراتور را نیز برابر با ۱ کیلوگرم بر ثانیه در نظر گرفته شده است. دبی ورودی برابر با ۵,۷۴ کیلوگرم بر ثانیه محاسبه می‌گردد . در شکل ۸ تغییرات دبی و دمای خروجی از سیستم خنک کننده که همان خروجی هیتر آب شیرین کن می‌باشد نشان داده شده است. همان طوری که مشاهده می‌کنید دمای خروجی به هیتر مطابق با دمای سنت پوینت که برابر با ۱۱۴/۲ درجه سانتیگراد می‌باشد . بدست آمده است . برای تنظیم دبی خروجی به هیتر آب شیرین کن ، دبی خروجی پمپ کلکتور را ۳ کیلوگرم بر ثانیه ، و دبی دیزل ژنراتور را نیز برابر با ۱ کیلوگرم بر ثانیه در نظر گرفته شده است. دبی خروجی برابر با ۵,۷۴ کیلوگرم بر ثانیه محاسبه می‌گردد. همان طوری که مشاهده می‌کنید دمای خروجی مبدل های مربوط به کلکتور خورشیدی با بیشترین مقدار در شده است. همان طوری که مشاهده می‌کنید دمای خروجی مربوط به مبدل سوم که برابر با ۰/۴ کیلوگرم بر ثانیه می‌باشد.



شکل ۸ تغییرات دما و دبی خروجی به سیستم آب شیرین کن



شکل ۹ تغییرات دما و دبی خروجی از مبدل های حرارتی

۳. نتیجه‌گیری

سیکل ترکیبی راه حل بسیار کارآمد، انعطاف پذیر، قابل اعتماد، مقرن به صرفه و سازگار با محیط زیست برای تولید برق است. نیروگاه سیکل ترکیبی در واقع ترکیبی از توربین بخار و توربین گازی می باشد به نحوی که ژنراتور توربین گازی برق را تولید می کند، در عین حال انرژی حرارتی تلف شده از توربین گاز (توسط محصولات احتراق) برای تولید بخار مورد نیاز توربین بخار مورد استفاده قرار می گیرد و به این طریق برق اضافی تولید می شود. با ترکیب کردن این دو سیکل بهره بری از نیروگاه افزایش پیدا می کند. بازده الکتریکی از یک چرخه ساده کارخانه نیروگاه برق بدون استفاده از اتصال گرما به طور معمول راندمانی بین ۴۰ تا ۲۵ درصد دارد، در حالی که همان نیروگاه با سیکل ترکیبی راندمان الکتریکی حدود ۶۰ درصد را دارد. همانطور که گفته شد این نیروگاه ها از ترکیب توربین های بخار و گاز ساخته می شوند و بسته به نوع توربین ها، دیگر های بازیافت گرما، و دستگاه های بازیابی انواع متعددی دارند. با به کار گیری توربین های گازی در چرخه های ترکیبی می توان پایین بودن بازده آن را بر طرف کرد و در نتیجه آن را برای تامین بار پایه به کار گرفت، در عین حال از مزایای دیگر آن نیز مانند راه اندازی سریع و انعطاف پذیری آن در محدوده گستردگی از بار بهره مند شد. نتایج مطالعه حاضر عبارتنداز:

- (۱) با توجه به وابسته بودن کلکتور های خورشیدی به شرایط آب و هوایی، از این تجهیزات نمی توانیم به تنها یک جهت تامین آب گرم مصرفی استفاده نماییم و باید یک تجهیز پر قدرت نیز در کنار آن داشته باشیم.

- (۲) تلفات حرارتی ناشی از دیزل ژنراتور بسیار زیاد می باشد و بکارگیری آن در تامین گرمای آب شیرین کن موثر واقع می شود.

- (۳) در مطالعه حاضر از مبدل های حرارتی پوسته - لوله استفاده شده است . با توجه به قیمت زیاد مبدل های حرارتی ، از لحاظ اقتصادی استفاده از مبدل های حرارتی در سیکل های ترکیبی کوچک مقرن به صرفه نمی باشد . زیرا علاوه بر هزینه نصب و راه اندازی ، هزینه تعمیرات و نگهداری زیادی را هم می تواند داشته باشد.

- (۴) میزان آب شیرین تولیدی توسط آب شیرین کن MSF برابر با ۴۳۳۲ متر مکعب بر در روز میزان آب شیرین تولیدی می باشد.

۸. مراجع

[۱] مجید عمید پور، سید احسان شکیبا، علیرضا اسماعیلی، سید رضا حسینی، موسی مراتی زمان، تحلیل ترمودینامیکی کوبلینگ آب شیرین کن چند مرحله‌ای تبخیری با واحدهای گازی نیروگاه خلیج فارس جهت برآورد میزان تولید آب شیرین، سومین کنفرانس نیروگاه های حرارتی تهران ۱۳۹۰ مهر

[۲] خلیلی زاده، حسین؛ نادر رهبر و جواد ابوالفضلی اصفهانی، ۱۳۹۱، مدلسازی عددی ترمولکتریک ژنراتور خورشیدی و بررسی پارامتر های موثر بر عملکرد آن، دومین کنفرانس بین المللی رویکردهای نوین در نگهداری انرژی، تهران، منطقه ویژه اقتصاد انرژی پارس جنوبی

[۳] مجیدی، غلامرضا و فرهاد حسین نژاد، ۱۳۹۶، تحلیل ترمواگرژی اجزای سیکل آب شیرین کن خورشیدی رطوبت زنی و رطوبت زدایی، اولین کنفرانس بین المللی فناوری های نوین در علوم، آمل، دانشگاه تخصصی فناوری های نوین آمل

[۴] ملتمنس، رحیم؛ سعید رستمی و بهنام عزیزی، ۱۳۹۶، شبیه‌سازی و تحلیل فنی سیستم فتوولتاییک متتمرکز با آینه‌های تخت جهت افزایش برق تولیدی، دومین کنفرانس ملی پژوهش در علوم پایه، شیراز، موسسه عالی علوم و فناوری خوارزمی

[۵] ولی پور مفتح، مهین و حمیدرضا بیان احمدی، ۱۳۹۵، طراحی کلکتور خورشیدی برای تولید آب شیرین با دستگاه آب شیرین کن تقطیری چند مرحله‌ای، دومین کنفرانس ملی توسعه پایدار در سیستم های مهندسی انرژی، آب و محیط زیست، تهران، دانشگاه علم و صنعت ایران

[۶] صفری، مهرداد؛ بهروز شهریاری و شهرام یوسفی، ۱۳۹۵، مروی بر پارامترهای تاثیر گذار بر عملکرد آب شیرین کن های خورشیدی در مودهای مختلف، اولین کنفرانس بین المللی دستاوردهای نوین پژوهشی در مکانیک، مکاترونیک و بیومکانیک

[۷] حسن زاده، فرناز؛ امیر خانجانزاده و شهریار تمدنی، ۱۳۹۵، روش های بهینه سازی راندمان در نیروگاه های خورشیدی، سومین کنفرانس بین المللی علوم و مهندسی، استانبول - کشور ترکیه، موسسه مدیران ایده پرداز پایتحث ویرا

[۸] [A.M.Helal S.A.Al-Malek](#), Design of a solar-assisted mechanical vapor compression (MVC) desalination unit for remote areas in the UAE, [Desalination](#), [Volume ۱۹۷, Issues ۱-۳](#), ۲ October ۲۰۰۶, Pages ۲۷۲-۳۰۰

[۹] [Farhad Salek Alireza Naghavi Moghaddam Mohammad Mahdi Naserian](#), Thermodynamic analysis and improvement of a novel solar driven atmospheric water generator, [Energy Conversion and Management](#), [Volume ۱۶۱](#), ۱ April ۲۰۱۸, Pages ۱۰۴-۱۱۱

[۱۰] Grid-tied and stand-alone hybrid solar power system for desalination plant, [Chaouki Ghenai Adel Merabet Tareq Salameh Erola Colon Pigem](#), [Desalination](#), [Volume ۴۲۵](#), ۱ June ۲۰۱۸, Pages ۱۷۲-۱۸۰

[۱۱] [Marco Astolfi Simone Mazzoli Paolo Silva Ennio Macchi](#), A synergic integration of desalination and solar energy systems in stand-alone microgrids, [Desalination](#), [Volume ۴۱۹](#), ۱ October ۲۰۱۷, Pages ۱۶۹-۱۸۰

[۱۲] [Mohammad Ali Abdelkareem M.El Haj Assad Enas Taha Sayed Bassel Soudan](#), Recent progress in the use of renewable energy sources to power water desalination plants, [Desalination](#), [Volume ۴۲۵](#), ۱ June ۲۰۱۸, Pages ۹۷-۱۱۳

[۱۲] M. Abidi S, Ben Jabrallah, J. P. Corriou ,Optimal Design of a Solar Desalination Unit with Heliostats, International Journal of Chemical Engineering, Volume ۲۰۱۷, Article ID ۵۹۲۴۱۷۳, ۱۳ pages

[۱۴] El Nadi, SUITABILITY OF SOLAR MIRRORS FOR WATER DE, International Journal of Current Research, Vol. ۷, Issue, ۱, pp. ۱۱۹۵۴-۱۱۹۵۸, January, ۲۰۱۵

[۱۵] Matthias Rommel ,Solar thermally driven desalination systems with corrosion-free collectors, Renewable Energy, Volume ۱۴, Issues ۱-۴, May–August ۱۹۹۸, Pages ۲۷۵-۲۸.

[۱۶] Marcello, F.; "Thermo economic Analysis and Simulation of a Combined Power and Desalination Plant", PhD Thesis, Department of Mechanical Engineering, Zaragoza, Spain, ۲۰۰۰.

[۱۷] Al-shayji, K.A.; "Modeling, Simulation, and Optimization of Large Scale Commercial Desalination Plant", PhD Thesis, Virginia Polytechnic Institute and State University, ۱۹۹۸.

[۱۸] Leger, Aaron st, Demand response impacts on off-grid hybrid photovoltaic-diesel generator microgrids, aimspress, ۲۰۱۵

[۱۹] Bert Schiebler, Steffen Jack, Henri Dieckmann, Federico Giovannetti, Experimental and theoretical investigations on temperature limitation in solar thermal collectors with heat pipes: Effect of superheating on the maximum temperature, Solar Energy ۱۷۱ (۲۰۱۸) ۲۷۱-۲۷۸